

- Comprobación del estado del inversor: funcionamiento, lámparas de señalizaciones, alarmas, etc.
 - Comprobación del estado mecánico de cables y terminales (incluyendo cables de tomas de tierra y reapriete de bornas), pletinas, transformadores, ventiladores/extractores, uniones, reaprietes, limpieza.
- 8.2.7 Realización de un informe técnico de cada una de las visitas, en el que se refleje el estado de las instalaciones y las incidencias acaecidas.
- 8.2.8 Registro de las operaciones de mantenimiento realizadas en un libro de mantenimiento, en el que constará la identificación del personal de mantenimiento (nombre, titulación y autorización de la empresa).

8.3 Garantías

8.3.1 Ámbito general de la garantía

- 8.3.1.1 Sin perjuicio de cualquier posible reclamación a terceros, la instalación será reparada de acuerdo con estas condiciones generales si ha sufrido una avería a causa de un defecto de montaje o de cualquiera de los componentes, siempre que haya sido manipulada correctamente de acuerdo con lo establecido en el manual de instrucciones.
- 8.3.1.2 La garantía se concede a favor del comprador de la instalación, lo que deberá justificarse debidamente mediante el correspondiente certificado de garantía, con la fecha que se acredite en la certificación de la instalación.

8.3.2 Plazos

- 8.3.2.1 El suministrador garantizará la instalación durante un período mínimo de 3 años, para todos los materiales utilizados y el procedimiento empleado en su montaje. Para los módulos fotovoltaicos, la garantía mínima será de 10 años.
- 8.3.2.2 Si hubiera de interrumpirse la explotación del suministro debido a razones de las que es responsable el suministrador, o a reparaciones que el suministrador haya de realizar para cumplir las estipulaciones de la garantía, el plazo se prolongará por la duración total de dichas interrupciones.

8.3.3 Condiciones económicas

- 8.3.3.1 La garantía comprende la reparación o reposición, en su caso, de los componentes y las piezas que pudieran resultar defectuosas, así como la mano de obra empleada en la reparación o reposición durante el plazo de vigencia de la garantía.
- 8.3.3.2 Quedan expresamente incluidos todos los demás gastos, tales como tiempos de desplazamiento, medios de transporte, amortización de vehículos y herramientas, disponibilidad de otros medios y eventuales portes de recogida y devolución de los equipos para su reparación en los talleres del fabricante.
- 8.3.3.3 Asimismo, se deben incluir la mano de obra y materiales necesarios para efectuar los ajustes y eventuales reglajes del funcionamiento de la instalación.

8.3.3.4 Si en un plazo razonable el suministrador incumple las obligaciones derivadas de la garantía, el comprador de la instalación podrá, previa notificación escrita, fijar una fecha final para que dicho suministrador cumpla con sus obligaciones. Si el suministrador no cumple con sus obligaciones en dicho plazo último, el comprador de la instalación podrá, por cuenta y riesgo del suministrador, realizar por sí mismo las oportunas reparaciones, o contratar para ello a un tercero, sin perjuicio de la reclamación por daños y perjuicios en que hubiere incurrido el suministrador.

8.3.4 Anulación de la garantía

8.3.4.1 La garantía podrá anularse cuando la instalación haya sido reparada, modificada o desmontada, aunque sólo sea en parte, por personas ajenas al suministrador o a los servicios de asistencia técnica de los fabricantes no autorizados expresamente por el suministrador, salvo lo indicado en el punto 8.3.3.4.

8.3.5 Lugar y tiempo de la prestación

8.3.5.1 Cuando el usuario detecte un defecto de funcionamiento en la instalación lo comunicará fehacientemente al suministrador. Cuando el suministrador considere que es un defecto de fabricación de algún componente, lo comunicará fehacientemente al fabricante.

8.3.5.2 El suministrador atenderá cualquier incidencia en el plazo máximo de una semana y la resolución de la avería se realizará en un tiempo máximo de 10 días, salvo causas de fuerza mayor debidamente justificadas.

8.3.5.3 Las averías de las instalaciones se repararán en su lugar de ubicación por el suministrador. Si la avería de algún componente no pudiera ser reparada en el domicilio del usuario, el componente deberá ser enviado al taller oficial designado por el fabricante por cuenta y a cargo del suministrador.

8.3.5.4 El suministrador realizará las reparaciones o reposiciones de piezas a la mayor brevedad posible una vez recibido el aviso de avería, pero no se responsabilizará de los perjuicios causados por la demora en dichas reparaciones siempre que sea inferior a 10 días naturales.

ANEXO I

MEDIDA DE LA POTENCIA INSTALADA DE UNA CENTRAL FOTOVOLTAICA CONECTADA A LA RED ELÉCTRICA

Medida de la potencia instalada de una central fotovoltaica conectada a la red eléctrica

1 Introducción

- 1.1 Definimos la potencia instalada en corriente alterna (CA) de una central fotovoltaica (FV) conectada a la red, como la potencia de corriente alterna a la entrada de la red eléctrica para un campo fotovoltaico con todos sus módulos en un mismo plano y que opera, sin sombras, a las condiciones estándar de medida (CEM).
- 1.2 La potencia instalada en CA de una central fotovoltaica puede obtenerse utilizando instrumentos de medida y procedimientos adecuados de corrección de unas condiciones de operación bajo unos determinados valores de irradiancia solar y temperatura a otras condiciones de operación diferentes. Cuando esto no es posible, puede estimarse la potencia instalada utilizando datos de catálogo y de la instalación, y realizando algunas medidas sencillas con una célula solar calibrada, un termómetro, un voltímetro y una pinza amperimétrica. Si tampoco se dispone de esta instrumentación, puede usarse el propio contador de energía. En este mismo orden, el error de la estimación de la potencia instalada será cada vez mayor.

2 Procedimiento de medida

- 2.1 Se describe a continuación el equipo mínimo necesario para calcular la potencia instalada:
 - 1 célula solar calibrada de tecnología equivalente.
 - 1 termómetro de temperatura ambiente.
 - 1 multímetro de corriente continua (CC) y corriente alterna (CA).
 - 1 pinza amperimétrica de CC y CA.
- 2.2 El propio inversor actuará de carga del campo fotovoltaico en el punto de máxima potencia.
- 2.3 Las medidas se realizarán en un día despejado, en un margen de ± 2 horas alrededor del mediodía solar.
- 2.4 Se realizará la medida con el inversor encendido para que el punto de operación sea el punto de máxima potencia.
- 2.5 Se medirá con la pinza amperimétrica la intensidad de CC de entrada al inversor y con un multímetro la tensión de CC en el mismo punto. Su producto es $P_{cc, inv}$.
- 2.6 El valor así obtenido se corrige con la temperatura y la irradiancia usando las ecuaciones (2) y (3).
- 2.7 La temperatura ambiente se mide con un termómetro situado a la sombra, en una zona próxima a los módulos FV. La irradiancia se mide con la célula (CTE) situada junto a los módulos y en su mismo plano.

2.8 Finalmente, se corrige esta potencia con las pérdidas.

2.9 Ecuaciones:

$$P_{cc, inv} = P_{cc, fov} (1 - L_{cab}) \quad (1)$$

$$P_{cc, fov} = P_o R_{to, var} [1 - g(T_c - 25)] E / 1000 \quad (2)$$

$$T_c = T_{amb} + (TONC - 20) E / 800 \quad (3)$$

| | |
|---------------|--|
| $P_{cc, fov}$ | Potencia de CC inmediatamente a la salida de los paneles FV, en W. |
| L_{cab} | Pérdidas de potencia en los cableados de CC entre los paneles FV y la entrada del inversor, incluyendo, además, las pérdidas en fusibles, conmutadores, conexiones, diodos antiparalelo si hay, etc. |
| E | Irradiancia solar, en W/m^2 , medida con la CTE calibrada. |
| g | Coefficiente de temperatura de la potencia, en $1/^\circ C$. |
| T_c | Temperatura de las células solares, en $^\circ C$. |
| T_{amb} | Temperatura ambiente en la sombra, en $^\circ C$, medida con el termómetro. |
| $TONC$ | Temperatura de operación nominal del módulo. |
| P_o | Potencia nominal del generador en CEM, en W. |
| $R_{to, var}$ | Rendimiento, que incluye los porcentajes de pérdidas debidas a que los módulos fotovoltaicos operan, normalmente, en condiciones diferentes de las CEM. |
| L_{tem} | Pérdidas medias anuales por temperatura. En la ecuación (2) puede sustituirse el término $[1 - g(T_c - 25)]$ por $(1 - L_{tem})$. |

$$R_{to, var} = (1 - L_{pol})(1 - L_{dis})(1 - L_{ref}) \quad (4)$$

| | |
|-----------|---|
| L_{pol} | Pérdidas de potencia debidas al polvo sobre los módulos FV. |
| L_{dis} | Pérdidas de potencia por dispersión de parámetros entre módulos. |
| L_{ref} | Pérdidas de potencia por reflectancia angular espectral, cuando se utiliza un piranómetro como referencia de medidas. Si se utiliza una célula de tecnología equivalente (CTE), el término L_{ref} es cero. |

2.10 Se indican a continuación los valores de los distintos coeficientes:

2.10.1 Todos los valores indicados pueden obtenerse de las medidas directas. Si no es posible realizar medidas, pueden obtenerse, parte de ellos, de los catálogos de características técnicas de los fabricantes.

2.10.2 Cuando no se dispone de otra información más precisa pueden usarse los valores indicados en la tabla III.

Tabla III

| Parámetro | Valor estimado, media anual | Valor estimado, día despejado (*) | Ver observación |
|------------|-----------------------------|-----------------------------------|-----------------|
| L_{cab} | 0,02 | 0,02 | (1) |
| g (1/°C) | – | 0,0035 (**) | – |
| TONC (°C) | – | 45 | – |
| L_{tem} | 0,08 | – | (2) |
| L_{pol} | 0,03 | – | (3) |
| L_{dis} | 0,02 | 0,02 | – |
| L_{ref} | 0,03 | 0,01 | (4) |

(*) Al mediodía solar ± 2 h de un día despejado. (**) Válido para silicio cristalino.

Observaciones:

- (1) Las pérdidas principales de cableado pueden calcularse conociendo la sección de los cables y su longitud, por la ecuación:

$$L_{cab} = RI^2 \quad (5)$$

$$R = 0,000002 L/S \quad (6)$$

R es el valor de la resistencia eléctrica de todos los cables, en ohmios.

L es la longitud de todos los cables (sumando la ida y el retorno), en cm.

S es la sección de cada cable, en cm^2 .

Normalmente, las pérdidas en conmutadores, fusibles y diodos son muy pequeñas y no es necesario considerarlas. Las caídas en el cableado pueden ser muy importantes cuando son largos y se opera a baja tensión en CC. Las pérdidas por cableado en % suelen ser inferiores en plantas de gran potencia que en plantas de pequeña potencia. En nuestro caso, de acuerdo con las especificaciones, el valor máximo admisible para la parte CC es 1,5 %, siendo recomendable no superar el 0,5 %.

- (2) Las pérdidas por temperatura dependen de la diferencia de temperatura en los módulos y los 25 °C de las CEM, del tipo de célula y encapsulado y del viento. Si los módulos están convenientemente aireados por detrás, esta diferencia es del orden de 30 °C sobre la temperatura ambiente, para una irradiancia de 1000 W/m². Para el caso de integración de edificios donde los módulos no están separados de las paredes o tejados, esta diferencia se podrá incrementar entre 5 °C y 15 °C.
- (3) Las pérdidas por polvo en un día determinado pueden ser del 0 % al día siguiente de un día de lluvia y llegar al 8 % cuando los módulos se "ven muy sucios". Estas pérdidas dependen de la inclinación de los módulos, cercanías a carreteras, etc. Una causa importante de pérdidas ocurre cuando los módulos FV que tienen marco tienen células solares muy próximas al marco situado en la parte inferior del módulo. Otras veces son las estructuras soporte que sobresalen de los módulos y actúan como retenes del polvo.
- (4) Las pérdidas por reflectancia angular y espectral pueden despreciarse cuando se mide el campo FV al mediodía solar (± 2 h) y también cuando se mide la radiación solar con una célula calibrada de tecnología equivalente (CTE) al módulo FV. Las pérdidas anuales son mayores en células con capas antirreflexivas que en células texturizadas. Son mayores en invierno que en verano. También son mayores en localidades de mayor latitud. Pueden oscilar a lo largo de un día entre 2 % y 6 %.

3 Ejemplo

Tabla IV

| Parámetro | Unidades | Valor | Comentario |
|---|------------------|--------|---|
| T_{ONC} | °C | 45 | Obtenido del catálogo |
| E | W/m ² | 850 | Irradiancia medida con la CTE calibrada |
| T_{amb} | °C | 22 | Temperatura ambiente en sombra |
| T_c | °C | 47 | Temperatura de las células $T_c = T_{amb} + (T_{ONC} - 20)E/800$ |
| $P_{cc, inv}$ (850 W/m ² , 47 °C) | W | 1200 | Medida con pinza amperimétrica y voltímetro a la entrada del inversor |
| $1 - g(T_c - 25)$ | | 0,923 | $1 - 0,0035 \times (47 - 25)$ |
| $1 - L_{cab}$ | | 0,98 | Valor tabla |
| $1 - L_{pol}$ | | 0,97 | Valor tabla |
| $1 - L_{dis}$ | | 0,98 | Valor tabla |
| $1 - L_{ref}$ | | 0,97 | Valor tabla |
| $R_{to, var}$ | | 0,922 | $0,97 \times 0,98 \times 0,97$ |
| $P_{cc, fov}$ | W | 1224,5 | $P_{cc, fov} = P_{cc, inv} / (1 - L_{cab})$ |
| P_o | W | 1693 | $P_o = \frac{P_{cc, fov} \times 1000}{R_{to, var} [1 - g(T_c - 25)] E}$ |

Potencia total estimada del campo fotovoltaico en CEM = 1693 W.

Si, además, se admite una desviación del fabricante (por ejemplo, 5 %), se incluirá en la estimación como una pérdida.

Finalmente, y después de sumar todas las pérdidas incluyendo la desviación de la potencia de los módulos respecto de su valor nominal, se comparará la potencia así estimada con la potencia declarada del campo fotovoltaico.

ANEXO II

CÁLCULO DE LAS PÉRDIDAS POR ORIENTACIÓN E INCLINACIÓN DEL GENERADOR DISTINTA DE LA ÓPTIMA

Cálculo de las pérdidas por orientación e inclinación del generador distinta de la óptima

1 Introducción

1.1 El objeto de este anexo es determinar los límites en la orientación e inclinación de los módulos de acuerdo a las pérdidas máximas permisibles por este concepto en el PCT.

1.2 Las pérdidas por este concepto se calcularán en función de:

- Ángulo de inclinación β , definido como el ángulo que forma la superficie de los módulos con el plano horizontal (figura 1). Su valor es 0° para módulos horizontales y 90° para verticales.
- Ángulo de azimut α , definido como el ángulo entre la proyección sobre el plano horizontal de la normal a la superficie del módulo y el meridiano del lugar (figura 2). Su valor es 0° para módulos orientados al Sur, -90° para módulos orientados al Este y $+90^\circ$ para módulos orientados al Oeste.

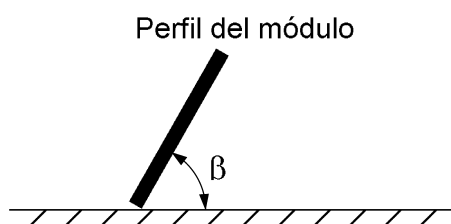


Fig. 1

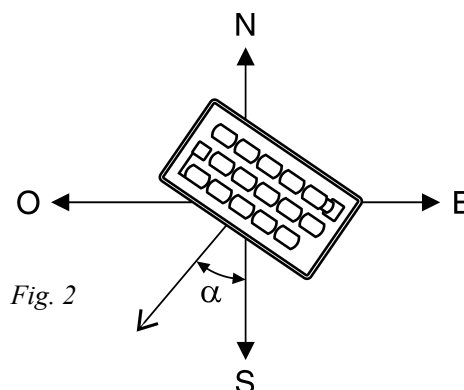


Fig. 2

2 Procedimiento

2.1 Habiendo determinado el ángulo de azimut del generador, se calcularán los límites de inclinación aceptables de acuerdo a las pérdidas máximas respecto a la inclinación óptima establecidas en el PCT. Para ello se utilizará la figura 3, válida para una latitud, ϕ , de 41° , de la siguiente forma:

- Conocido el azimut, determinamos en la figura 3 los límites para la inclinación en el caso de $\phi = 41^\circ$. Para el caso general, las pérdidas máximas por este concepto son del 10%; para superposición, del 20%, y para integración arquitectónica del 40%. Los puntos de intersección del límite de pérdidas con la recta de azimut nos proporcionan los valores de inclinación máxima y mínima.
- Si no hay intersección entre ambas, las pérdidas son superiores a las permitidas y la instalación estará fuera de los límites. Si ambas curvas se intersectan, se obtienen los valores para latitud $\phi = 41^\circ$ y se corrigen de acuerdo al apartado 2.2.

- 2.2 Se corregirán los límites de inclinación aceptables en función de la diferencia entre la latitud del lugar en cuestión y la de 41°, de acuerdo a las siguientes fórmulas:

$$\text{Inclinación máxima} = \text{Inclinación } (\phi = 41^\circ) - (41^\circ - \text{latitud}).$$

$$\text{Inclinación mínima} = \text{Inclinación } (\phi = 41^\circ) - (41^\circ - \text{latitud}), \text{ siendo } 0^\circ \text{ su valor mínimo.}$$

- 2.3 En casos cerca del límite, y como instrumento de verificación, se utilizará la siguiente fórmula:

$$\text{Pérdidas (\%)} = 100 \times [1,2 \times 10^{-4} (\beta - \phi + 10)^2 + 3,5 \times 10^{-5} \alpha^2] \quad \text{para } 15^\circ < \beta < 90^\circ$$

$$\text{Pérdidas (\%)} = 100 \times [1,2 \times 10^{-4} (\beta - \phi + 10)^2] \quad \text{para } \beta \leq 15^\circ$$

[Nota: α , β , ϕ se expresan en grados, siendo ϕ la latitud del lugar].

3 Ejemplo de cálculo

Supongamos que se trata de evaluar si las pérdidas por orientación e inclinación del generador están dentro de los límites permitidos para una instalación fotovoltaica en un tejado orientado 15° hacia el Oeste (azimut = +15°) y con una inclinación de 40° respecto a la horizontal, para una localidad situada en el Archipiélago Canario cuya latitud es de 29°.

- 3.1 Conocido el azimut, cuyo valor es +15°, determinamos en la figura 3 los límites para la inclinación para el caso de $\phi = 41^\circ$. Los puntos de intersección del límite de pérdidas del 10% (borde exterior de la región 90%-95%), máximo para el caso general, con la recta de azimut 15° nos proporcionan los valores (ver figura 4):

$$\text{Inclinación máxima} = 60^\circ$$

$$\text{Inclinación mínima} = 7^\circ$$

- 3.2 Corregimos para la latitud del lugar:

$$\text{Inclinación máxima} = 60^\circ - (41^\circ - 29^\circ) = 48^\circ$$

$$\text{Inclinación mínima} = 7^\circ - (41^\circ - 29^\circ) = -5^\circ, \text{ que está fuera de rango y se toma, por lo tanto, inclinación mínima} = 0^\circ.$$

- 3.3 Por tanto, esta instalación, de inclinación 40°, cumple los requisitos de pérdidas por orientación e inclinación.

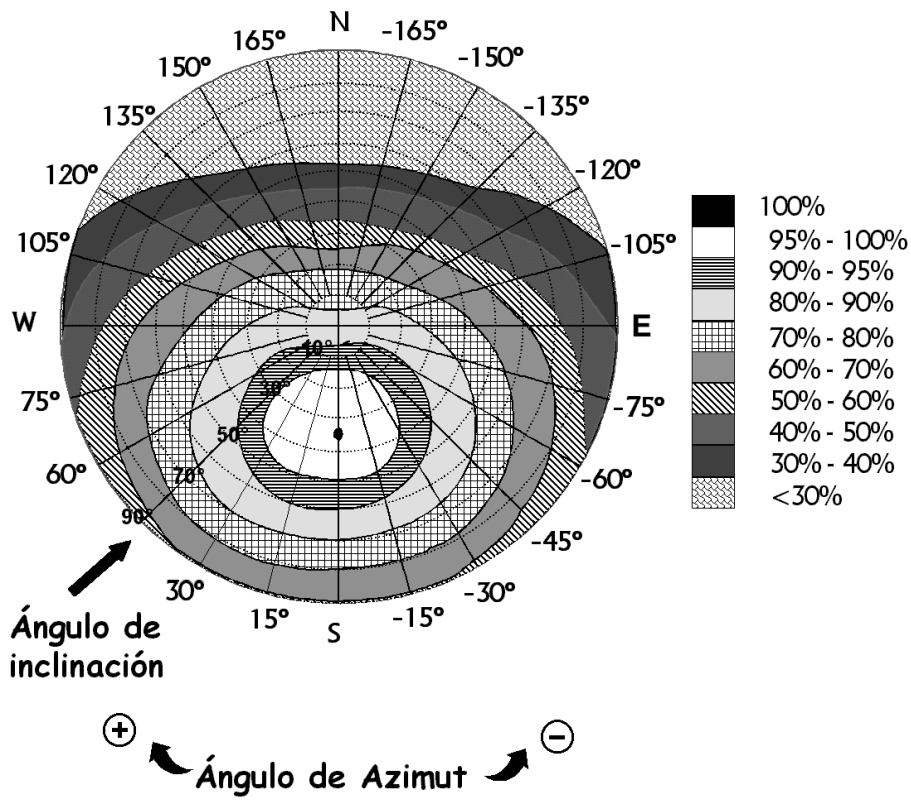


Fig. 3

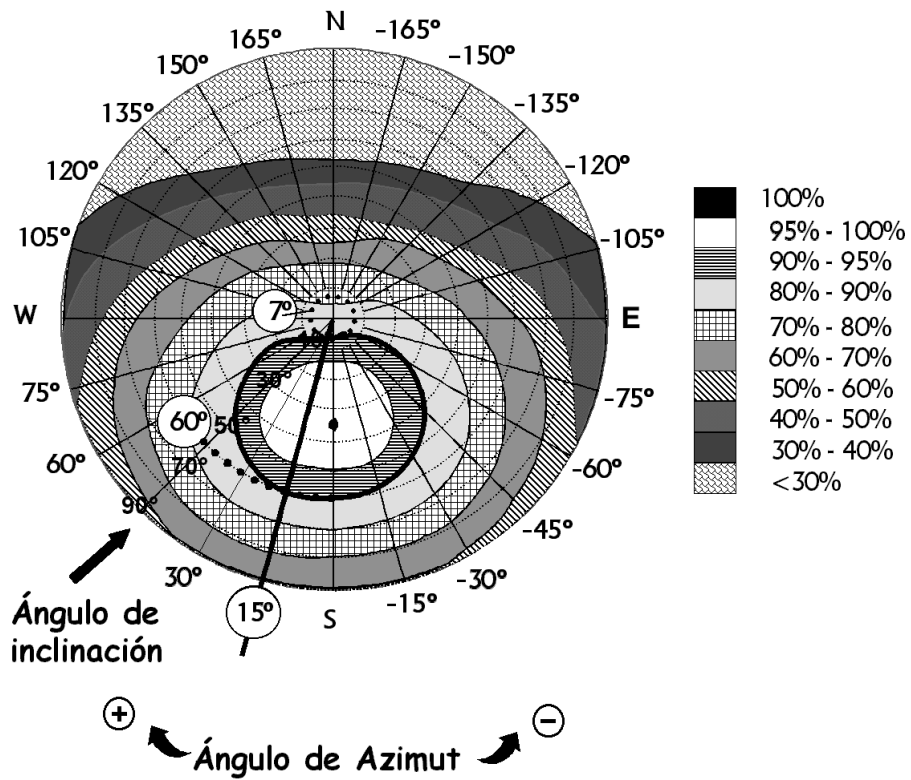


Fig. 4. Resolución del ejemplo.

ANEXO III

CÁLCULO DE LAS PÉRDIDAS DE RADIACIÓN SOLAR POR SOMBRAS

Cálculo de las pérdidas de radiación solar por sombras

1 Objeto

El presente anexo describe un método de cálculo de las pérdidas de radiación solar que experimenta una superficie debidas a sombras circundantes. Tales pérdidas se expresan como porcentaje de la radiación solar global que incidiría sobre la mencionada superficie de no existir sombra alguna.

2 Descripción del método

El procedimiento consiste en la comparación del perfil de obstáculos que afecta a la superficie de estudio con el diagrama de trayectorias del Sol. Los pasos a seguir son los siguientes:

2.1 Obtención del perfil de obstáculos

Localización de los principales obstáculos que afectan a la superficie, en términos de sus coordenadas de posición azimut (ángulo de desviación con respecto a la dirección Sur) y elevación (ángulo de inclinación con respecto al plano horizontal). Para ello puede utilizarse un teodolito.

2.2 Representación del perfil de obstáculos

Representación del perfil de obstáculos en el diagrama de la figura 5, en el que se muestra la banda de trayectorias del Sol a lo largo de todo el año, válido para localidades de la Península Ibérica y Baleares (para las Islas Canarias el diagrama debe desplazarse 12° en sentido vertical ascendente). Dicha banda se encuentra dividida en porciones, delimitadas por las horas solares (negativas antes del mediodía solar y positivas después de éste) e identificadas por una letra y un número (A1, A2,..., D14).

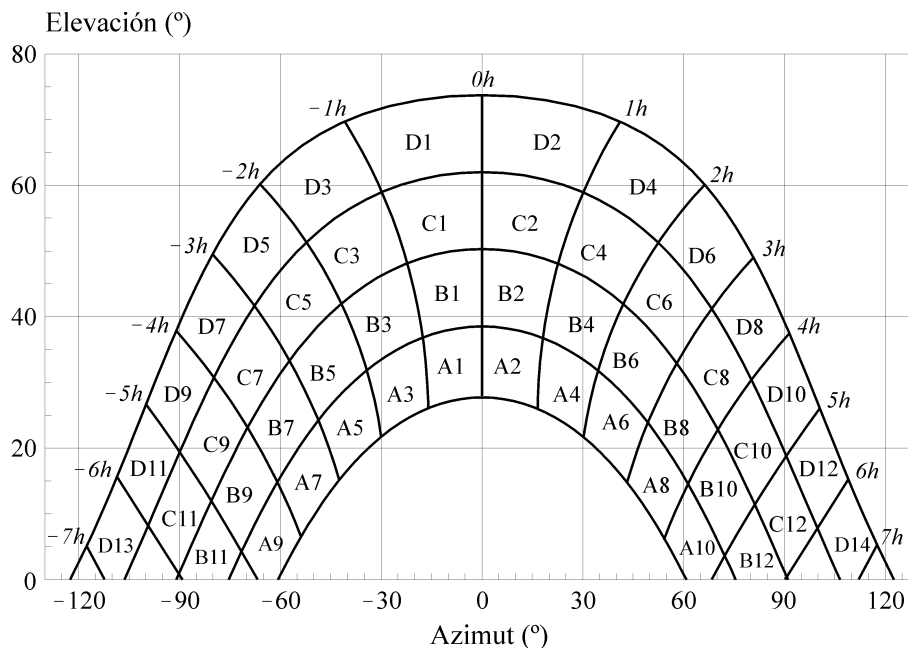


Fig. 5. Diagrama de trayectorias del Sol. [Nota: los grados de ambas escalas son sexagesimales].

2.3 Selección de la tabla de referencia para los cálculos

Cada una de las porciones de la figura 5 representa el recorrido del Sol en un cierto período de tiempo (una hora a lo largo de varios días) y tiene, por tanto, una determinada contribución a la irradiación solar global anual que incide sobre la superficie de estudio. Así, el hecho de que un obstáculo cubra una de las porciones supone una cierta pérdida de irradiación, en particular aquella que resulte interceptada por el obstáculo. Deberá escogerse como referencia para el cálculo la tabla más adecuada de entre las que se incluyen en la sección 3 de este anexo.

2.4 Cálculo final

La comparación del perfil de obstáculos con el diagrama de trayectorias del Sol permite calcular las pérdidas por sombreado de la irradiación solar global que incide sobre la superficie, a lo largo de todo el año. Para ello se han de sumar las contribuciones de aquellas porciones que resulten total o parcialmente ocultas por el perfil de obstáculos representado. En el caso de ocultación parcial se utilizará el factor de llenado (fracción oculta respecto del total de la porción) más próximo a los valores: 0,25, 0,50, 0,75 ó 1.

La sección 4 muestra un ejemplo concreto de utilización del método descrito.

3 Tablas de referencia

Las tablas incluidas en esta sección se refieren a distintas superficies caracterizadas por sus ángulos de inclinación y orientación (β y α , respectivamente). Deberá escogerse aquella que resulte más parecida a la superficie de estudio. Los números que figuran en cada casilla se corresponden con el porcentaje de irradiación solar global anual que se perdería si la porción correspondiente (véase la figura 5) resultase interceptada por un obstáculo.

Tabla V-1

| $\beta = 35^\circ$ $\alpha = 0^\circ$ | A | B | C | D |
|--|------|------|------|------|
| 13 | 0,00 | 0,00 | 0,00 | 0,03 |
| 11 | 0,00 | 0,01 | 0,12 | 0,44 |
| 9 | 0,13 | 0,41 | 0,62 | 1,49 |
| 7 | 1,00 | 0,95 | 1,27 | 2,76 |
| 5 | 1,84 | 1,50 | 1,83 | 3,87 |
| 3 | 2,70 | 1,88 | 2,21 | 4,67 |
| 1 | 3,15 | 2,12 | 2,43 | 5,04 |
| 2 | 3,17 | 2,12 | 2,33 | 4,99 |
| 4 | 2,70 | 1,89 | 2,01 | 4,46 |
| 6 | 1,79 | 1,51 | 1,65 | 3,63 |
| 8 | 0,98 | 0,99 | 1,08 | 2,55 |
| 10 | 0,11 | 0,42 | 0,52 | 1,33 |
| 12 | 0,00 | 0,02 | 0,10 | 0,40 |
| 14 | 0,00 | 0,00 | 0,00 | 0,02 |

Tabla V-2

| $\beta = 0^\circ$ $\alpha = 0^\circ$ | A | B | C | D |
|---|------|------|------|------|
| 13 | 0,00 | 0,00 | 0,00 | 0,18 |
| 11 | 0,00 | 0,01 | 0,18 | 1,05 |
| 9 | 0,05 | 0,32 | 0,70 | 2,23 |
| 7 | 0,52 | 0,77 | 1,32 | 3,56 |
| 5 | 1,11 | 1,26 | 1,85 | 4,66 |
| 3 | 1,75 | 1,60 | 2,20 | 5,44 |
| 1 | 2,10 | 1,81 | 2,40 | 5,78 |
| 2 | 2,11 | 1,80 | 2,30 | 5,73 |
| 4 | 1,75 | 1,61 | 2,00 | 5,19 |
| 6 | 1,09 | 1,26 | 1,65 | 4,37 |
| 8 | 0,51 | 0,82 | 1,11 | 3,28 |
| 10 | 0,05 | 0,33 | 0,57 | 1,98 |
| 12 | 0,00 | 0,02 | 0,15 | 0,96 |
| 14 | 0,00 | 0,00 | 0,00 | 0,17 |

Tabla V-3

| $\beta = 90^\circ$ $\alpha = 0^\circ$ | A | B | C | D |
|--|------|------|------|------|
| 13 | 0,00 | 0,00 | 0,00 | 0,15 |
| 11 | 0,00 | 0,01 | 0,02 | 0,15 |
| 9 | 0,23 | 0,50 | 0,37 | 0,10 |
| 7 | 1,66 | 1,06 | 0,93 | 0,78 |
| 5 | 2,76 | 1,62 | 1,43 | 1,68 |
| 3 | 3,83 | 2,00 | 1,77 | 2,36 |
| 1 | 4,36 | 2,23 | 1,98 | 2,69 |
| 2 | 4,40 | 2,23 | 1,91 | 2,66 |
| 4 | 3,82 | 2,01 | 1,62 | 2,26 |
| 6 | 2,68 | 1,62 | 1,30 | 1,58 |
| 8 | 1,62 | 1,09 | 0,79 | 0,74 |
| 10 | 0,19 | 0,49 | 0,32 | 0,10 |
| 12 | 0,00 | 0,02 | 0,02 | 0,13 |
| 14 | 0,00 | 0,00 | 0,00 | 0,13 |

Tabla V-4

| $\beta = 35^\circ$ $\alpha = 30^\circ$ | A | B | C | D |
|---|------|------|------|------|
| 13 | 0,00 | 0,00 | 0,00 | 0,10 |
| 11 | 0,00 | 0,00 | 0,03 | 0,06 |
| 9 | 0,02 | 0,10 | 0,19 | 0,56 |
| 7 | 0,54 | 0,55 | 0,78 | 1,80 |
| 5 | 1,32 | 1,12 | 1,40 | 3,06 |
| 3 | 2,24 | 1,60 | 1,92 | 4,14 |
| 1 | 2,89 | 1,98 | 2,31 | 4,87 |
| 2 | 3,16 | 2,15 | 2,40 | 5,20 |
| 4 | 2,93 | 2,08 | 2,23 | 5,02 |
| 6 | 2,14 | 1,82 | 2,00 | 4,46 |
| 8 | 1,33 | 1,36 | 1,48 | 3,54 |
| 10 | 0,18 | 0,71 | 0,88 | 2,26 |
| 12 | 0,00 | 0,06 | 0,32 | 1,17 |
| 14 | 0,00 | 0,00 | 0,00 | 0,22 |

Tabla V-5

| $\beta = 90^\circ$ $\alpha = 30^\circ$ | A | B | C | D |
|---|------|------|------|------|
| 13 | 0,10 | 0,00 | 0,00 | 0,33 |
| 11 | 0,06 | 0,01 | 0,15 | 0,51 |
| 9 | 0,56 | 0,06 | 0,14 | 0,43 |
| 7 | 1,80 | 0,04 | 0,07 | 0,31 |
| 5 | 3,06 | 0,55 | 0,22 | 0,11 |
| 3 | 4,14 | 1,16 | 0,87 | 0,67 |
| 1 | 4,87 | 1,73 | 1,49 | 1,86 |
| 2 | 5,20 | 2,15 | 1,88 | 2,79 |
| 4 | 5,02 | 2,34 | 2,02 | 3,29 |
| 6 | 4,46 | 2,28 | 2,05 | 3,36 |
| 8 | 3,54 | 1,92 | 1,71 | 2,98 |
| 10 | 2,26 | 1,19 | 1,19 | 2,12 |
| 12 | 1,17 | 0,12 | 0,53 | 1,22 |
| 14 | 0,22 | 0,00 | 0,00 | 0,24 |

Tabla V-6

| $\beta = 35^\circ$ $\alpha = 60^\circ$ | A | B | C | D |
|---|------|------|------|------|
| 13 | 0,00 | 0,00 | 0,00 | 0,14 |
| 11 | 0,00 | 0,00 | 0,08 | 0,16 |
| 9 | 0,02 | 0,04 | 0,04 | 0,02 |
| 7 | 0,02 | 0,13 | 0,31 | 1,02 |
| 5 | 0,64 | 0,68 | 0,97 | 2,39 |
| 3 | 1,55 | 1,24 | 1,59 | 3,70 |
| 1 | 2,35 | 1,74 | 2,12 | 4,73 |
| 2 | 2,85 | 2,05 | 2,38 | 5,40 |
| 4 | 2,86 | 2,14 | 2,37 | 5,53 |
| 6 | 2,24 | 2,00 | 2,27 | 5,25 |
| 8 | 1,51 | 1,61 | 1,81 | 4,49 |
| 10 | 0,23 | 0,94 | 1,20 | 3,18 |
| 12 | 0,00 | 0,09 | 0,52 | 1,96 |
| 14 | 0,00 | 0,00 | 0,00 | 0,55 |

Tabla V-7

| $\beta = 90^\circ$ $\alpha = 60^\circ$ | A | B | C | D |
|---|------|------|------|------|
| 13 | 0,00 | 0,00 | 0,00 | 0,43 |
| 11 | 0,00 | 0,01 | 0,27 | 0,78 |
| 9 | 0,09 | 0,21 | 0,33 | 0,76 |
| 7 | 0,21 | 0,18 | 0,27 | 0,70 |
| 5 | 0,10 | 0,11 | 0,21 | 0,52 |
| 3 | 0,45 | 0,03 | 0,05 | 0,25 |
| 1 | 1,73 | 0,80 | 0,62 | 0,55 |
| 2 | 2,91 | 1,56 | 1,42 | 2,26 |
| 4 | 3,59 | 2,13 | 1,97 | 3,60 |
| 6 | 3,35 | 2,43 | 2,37 | 4,45 |
| 8 | 2,67 | 2,35 | 2,28 | 4,65 |
| 10 | 0,47 | 1,64 | 1,82 | 3,95 |
| 12 | 0,00 | 0,19 | 0,97 | 2,93 |
| 14 | 0,00 | 0,00 | 0,00 | 1,00 |

Tabla V-8

| $\beta = 35^\circ$ $\alpha = -30^\circ$ | A | B | C | D |
|--|------|------|------|------|
| 13 | 0,00 | 0,00 | 0,00 | 0,22 |
| 11 | 0,00 | 0,03 | 0,37 | 1,26 |
| 9 | 0,21 | 0,70 | 1,05 | 2,50 |
| 7 | 1,34 | 1,28 | 1,73 | 3,79 |
| 5 | 2,17 | 1,79 | 2,21 | 4,70 |
| 3 | 2,90 | 2,05 | 2,43 | 5,20 |
| 1 | 3,12 | 2,13 | 2,47 | 5,20 |
| 2 | 2,88 | 1,96 | 2,19 | 4,77 |
| 4 | 2,22 | 1,60 | 1,73 | 3,91 |
| 6 | 1,27 | 1,11 | 1,25 | 2,84 |
| 8 | 0,52 | 0,57 | 0,65 | 1,64 |
| 10 | 0,02 | 0,10 | 0,15 | 0,50 |
| 12 | 0,00 | 0,00 | 0,03 | 0,05 |
| 14 | 0,00 | 0,00 | 0,00 | 0,08 |

Tabla V-9

| $\beta = 90^\circ$ $\alpha = -30^\circ$ | A | B | C | D |
|--|------|------|------|------|
| 13 | 0,00 | 0,00 | 0,00 | 0,24 |
| 11 | 0,00 | 0,05 | 0,60 | 1,28 |
| 9 | 0,43 | 1,17 | 1,38 | 2,30 |
| 7 | 2,42 | 1,82 | 1,98 | 3,15 |
| 5 | 3,43 | 2,24 | 2,24 | 3,51 |
| 3 | 4,12 | 2,29 | 2,18 | 3,38 |
| 1 | 4,05 | 2,11 | 1,93 | 2,77 |
| 2 | 3,45 | 1,71 | 1,41 | 1,81 |
| 4 | 2,43 | 1,14 | 0,79 | 0,64 |
| 6 | 1,24 | 0,54 | 0,20 | 0,11 |
| 8 | 0,40 | 0,03 | 0,06 | 0,31 |
| 10 | 0,01 | 0,06 | 0,12 | 0,39 |
| 12 | 0,00 | 0,01 | 0,13 | 0,45 |
| 14 | 0,00 | 0,00 | 0,00 | 0,27 |

Tabla V-10

| $\beta = 35^\circ$ $\alpha = -60^\circ$ | A | B | C | D |
|--|------|------|------|------|
| 13 | 0,00 | 0,00 | 0,00 | 0,56 |
| 11 | 0,00 | 0,04 | 0,60 | 2,09 |
| 9 | 0,27 | 0,91 | 1,42 | 3,49 |
| 7 | 1,51 | 1,51 | 2,10 | 4,76 |
| 5 | 2,25 | 1,95 | 2,48 | 5,48 |
| 3 | 2,80 | 2,08 | 2,56 | 5,68 |
| 1 | 2,78 | 2,01 | 2,43 | 5,34 |
| 2 | 2,32 | 1,70 | 2,00 | 4,59 |
| 4 | 1,52 | 1,22 | 1,42 | 3,46 |
| 6 | 0,62 | 0,67 | 0,85 | 2,20 |
| 8 | 0,02 | 0,14 | 0,26 | 0,92 |
| 10 | 0,02 | 0,04 | 0,03 | 0,02 |
| 12 | 0,00 | 0,01 | 0,07 | 0,14 |
| 14 | 0,00 | 0,00 | 0,00 | 0,12 |

Tabla V-11

| $\beta = 90^\circ$ $\alpha = -60^\circ$ | A | B | C | D |
|--|------|------|------|------|
| 13 | 0,00 | 0,00 | 0,00 | 1,01 |
| 11 | 0,00 | 0,08 | 1,10 | 3,08 |
| 9 | 0,55 | 1,60 | 2,11 | 4,28 |
| 7 | 2,66 | 2,19 | 2,61 | 4,89 |
| 5 | 3,36 | 2,37 | 2,56 | 4,61 |
| 3 | 3,49 | 2,06 | 2,10 | 3,67 |
| 1 | 2,81 | 1,52 | 1,44 | 2,22 |
| 2 | 1,69 | 0,78 | 0,58 | 0,53 |
| 4 | 0,44 | 0,03 | 0,05 | 0,24 |
| 6 | 0,10 | 0,13 | 0,19 | 0,48 |
| 8 | 0,22 | 0,18 | 0,26 | 0,69 |
| 10 | 0,08 | 0,21 | 0,28 | 0,68 |
| 12 | 0,00 | 0,02 | 0,24 | 0,67 |
| 14 | 0,00 | 0,00 | 0,00 | 0,36 |

4 Ejemplo

Superficie de estudio ubicada en Madrid, inclinada 30° y orientada 10° al Sudeste. En la figura 6 se muestra el perfil de obstáculos.

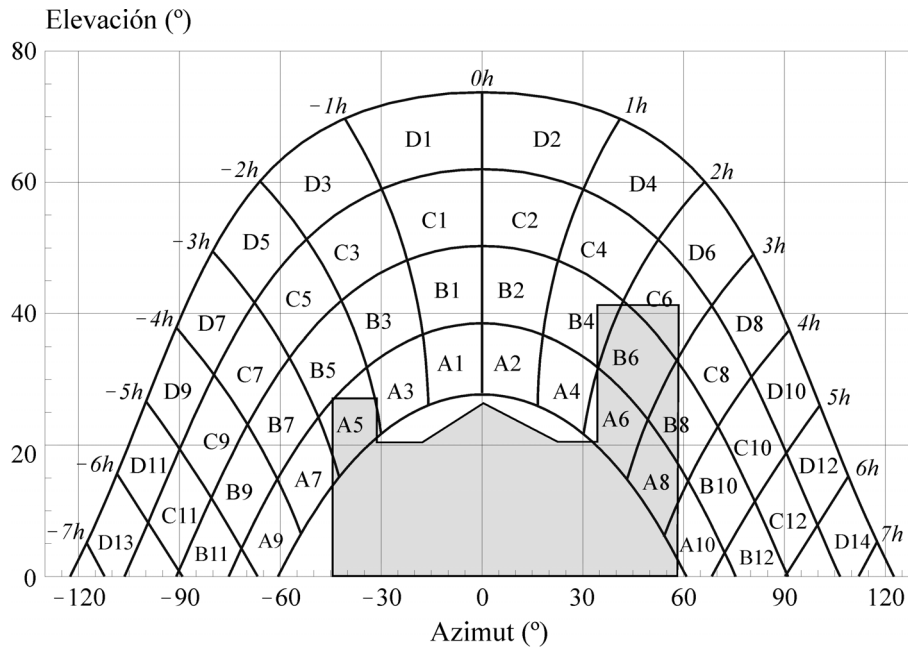


Fig. 6

Tabla VI. Tabla de referencia.

| $\beta = 35^\circ$ $\alpha = 0^\circ$ | A | B | C | D |
|--|------|------|------|------|
| 13 | 0,00 | 0,00 | 0,00 | 0,03 |
| 11 | 0,00 | 0,01 | 0,12 | 0,44 |
| 9 | 0,13 | 0,41 | 0,62 | 1,49 |
| 7 | 1,00 | 0,95 | 1,27 | 2,76 |
| 5 | 1,84 | 1,50 | 1,83 | 3,87 |
| 3 | 2,70 | 1,88 | 2,21 | 4,67 |
| 1 | 3,15 | 2,12 | 2,43 | 5,04 |
| 2 | 3,17 | 2,12 | 2,33 | 4,99 |
| 4 | 2,70 | 1,89 | 2,01 | 4,46 |
| 6 | 1,79 | 1,51 | 1,65 | 3,63 |
| 8 | 0,98 | 0,99 | 1,08 | 2,55 |
| 10 | 0,11 | 0,42 | 0,52 | 1,33 |
| 12 | 0,00 | 0,02 | 0,10 | 0,40 |
| 14 | 0,00 | 0,00 | 0,00 | 0,02 |

Cálculos:

$$\begin{aligned} & \text{Pérdidas por sombreado (\% de irradiación global incidente anual)} = \\ & = 0,25 \times B4 + 0,5 \times A5 + 0,75 \times A6 + B6 + 0,25 \times C6 + A8 + 0,5 \times B8 + 0,25 \times A10 = \\ & = 0,25 \times 1,89 + 0,5 \times 1,84 + 0,75 \times 1,79 + 1,51 + 0,25 \times 1,65 + 0,98 + 0,5 \times 0,99 + 0,25 \times 0,11 = \\ & = 6,16\% \approx \mathbf{6\%} \end{aligned}$$

5 Distancia mínima entre filas de módulos

La distancia d , medida sobre la horizontal, entre filas de módulos o entre una fila y un obstáculo de altura h que pueda proyectar sombras, se recomienda que sea tal que se garanticen al menos 4 horas de sol en torno al mediodía del solsticio de invierno.

En cualquier caso, d ha de ser como mínimo igual a $h \cdot k$, siendo k un factor adimensional al que, en este caso, se le asigna el valor $1/\tan(61^\circ - \text{latitud})$.

En la tabla VII pueden verse algunos valores significativos del factor k , en función de la latitud del lugar.

Tabla VII

| Latitud | 29° | 37° | 39° | 41° | 43° | 45° |
|---------|-------|-------|-------|-------|-------|-------|
| k | 1,600 | 2,246 | 2,475 | 2,747 | 3,078 | 3,487 |

Asimismo, la separación entre la parte posterior de una fila y el comienzo de la siguiente no será inferior a $h \cdot k$, siendo en este caso h la diferencia de alturas entre la parte alta de una fila y la parte baja de la posterior, efectuándose todas las medidas con relación al plano que contiene las bases de los módulos.

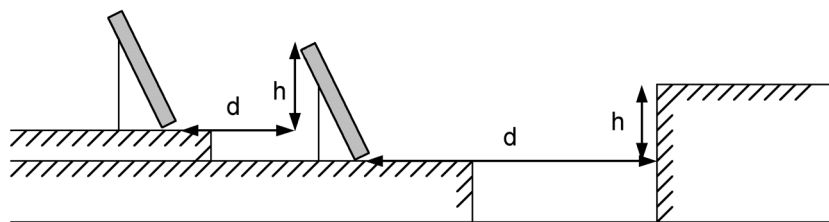


Fig. 7

Si los módulos se instalan sobre cubiertas inclinadas, en el caso de que el azimut de estos, el de la cubierta, o el de ambos, difieran del valor cero apreciablemente, el cálculo de la distancia entre filas deberá efectuarse mediante la ayuda de un programa de sombreado para casos generales suficientemente fiable, a fin de que se cumplan las condiciones requeridas.

IDAE

Instituto para la Diversificación y Ahorro de la Energía
C/ Madera, 8
E - 28004 - MADRID
www.idae.es

